

## КОНФЕРЕНЦИЯ ПО ИСПОЛЬЗОВАНИЮ РАССЕЯНИЯ НЕЙТРОНОВ В ИССЛЕДОВАНИИ КОНДЕНСИРОВАННЫХ СРЕД (РНИКС-2025)

→ → ◆ → → Томск, 29 сентября – 3 октября 2025 г.

## ЭВОЛЮЦИЯ СТРУКТУРНЫХ ФАЗ В $Fe_{75}Ga_{12.5}Ge_{12.5}$ В ШИРОКОМ ДИАПАЗОНЕ ТЕМПЕРАТУР: НЕЙТРОННОЕ ДИФРАКЦИОННОЕ IN SITU ИССЛЕДОВАНИЕ

<u>А. С. Захарова</u><sup>1</sup>\*, Т. Н. Вершинина<sup>1</sup>, С. В. Сумников<sup>1</sup>, А. М. Балагуров<sup>1</sup>, И. С. Головин<sup>2</sup>, Дж. Хао<sup>3</sup>, Х. Лю<sup>3</sup>, Л. Хе<sup>3</sup>

 $^{1}$ Объединенный институт ядерных исследований, Дубна, Россия  $^{2}$ Национальный исследовательский технологический университет «МИСиС», Москва, Россия  $^{3}$ Spallation Neutron Source Science Center, Дунгуань, Китай

\*E-mail: zakharova.anna.nano@gmail.com

В настоящей работе проведено исследование эволюции фазового состава сплава  $Fe_{75}Ga_{12.5}Ge_{12.5}$  в условиях непрерывного нагрева до  $1000^{\circ}C$  и последующего охлаждения при скорости изменения температуры  $\pm 2^{\circ}C$ /мин. Измерения нейтронных дифракционных спектров проведены на дифрактометре общего назначения GPPD, действующего на импульсном источнике CSNS (Китай). Для набора *insitu* данных использовались  $90^{\circ}$ -детекторы с  $\Delta d/d \approx 0.006$ , индивидуальные спектры регистрировались каждые 5 мин.

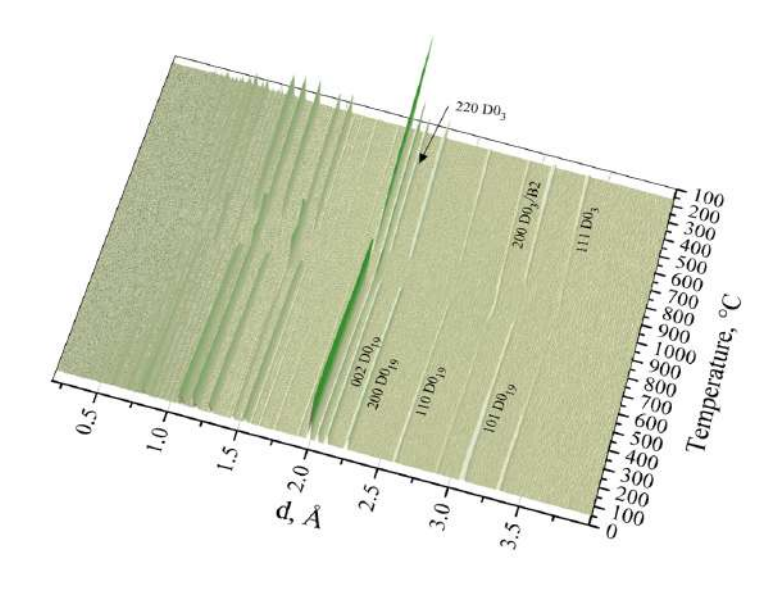


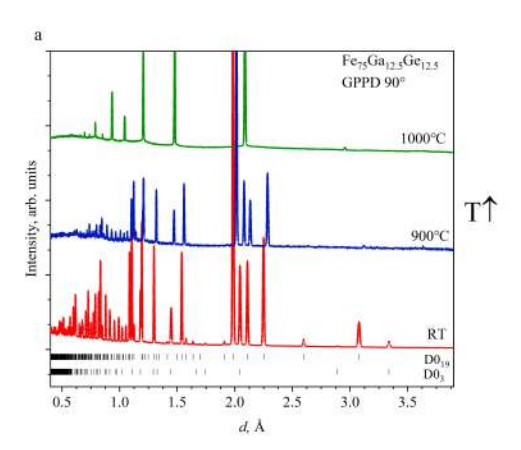
Рис. 1. 3D карта температурной эволюции дифракционных спектров.

В исходном литом состоянии сплав  $Fe_{75}Ga_{12.5}Ge_{12.5}$  содержит две структурные фазы с упорядочением по типу  $D0_3$  и  $D0_{19}$  (рис. 2a). Известно, что, фазовый состав сплава  $Fe_{75}Ge_{25}$  в исходном литом состоянии является смесью  $Fe_3Ge$  ( $D0_{19}$ ) и  $B8_2$  [1], а  $Fe_{75}Ga_{25}$  находится в однофазном  $D0_3$  состоянии [2]. Таким образом, фазовый состав сплава  $Fe_{75}Ga_{12.5}Ge_{12.5}$  представляет собой промежуточный вариант между фазовыми составами крайних состояний, соответствующих бинарным составами  $Fe_{75}Ge_{25}$  и  $Fe_{75}Ga_{25}$ .



## КОНФЕРЕНЦИЯ ПО ИСПОЛЬЗОВАНИЮ РАССЕЯНИЯ НЕЙТРОНОВ В ИССЛЕДОВАНИИ КОНДЕНСИРОВАННЫХ СРЕД (РНИКС-2025)

• → • → • → Томск, 29 сентября – 3 октября 2025 г.



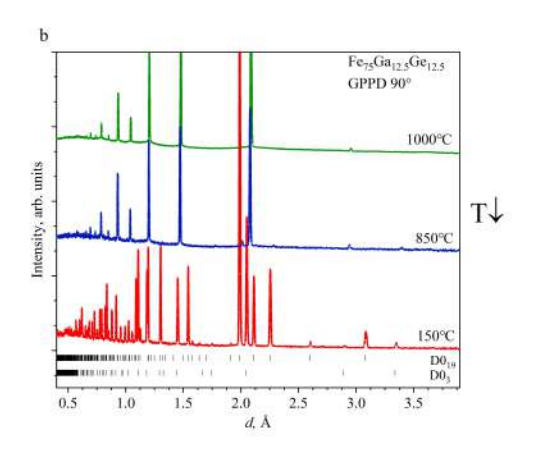


Рис. 2. Отдельные дифрактограммы, измеренные при нагреве (a) и охлаждении (b) для нескольких фиксированных температур. Штрихами обозначены положения пиков фаз при комнатной температуре (a) и при температуре 150°C (b).

Из 3D-карты эволюции дифракционных спектров (рис. 1) можно видеть, что в процессе нагрева по достижении 950°С имеет место переход  $D0_3 \to B_2$ , о чем свидетельствует исчезновение соответствующих сверхструктурных рефлексов. Также при этой температуре полностью исчезает фаза  $D0_{19}$ .

При охлаждении сверхструктурный пик (111) фазы  $D0_3$  появляется при необычно высокой температуре (  $\approx 900$ °C), что соответствует обратному переходу  $B_2 \to D0_3$ . При  $\approx 870$ °C появляется основной рефлекс (200) фазы  $D0_{19}$ , малоинтенсивные сверхструктурные пики (110), (101) этой фазы становятся хорошо различимы при температуре 850°C. При дальнейшем охлаждении до 150°C двухфазное состояние  $D0_3 + D0_{19}$  сохраняется, но изменения интегральных интенсивностей пиков свидетельствуют о росте объемной доли  $D0_3$  по сравнению с исходным литым состоянием (рис. 2b).

Дальнейшая обработка дифракционных спектров позволит получить информацию о температурном поведении параметров элементарных ячеек структурных фаз, их объемных долей и возможной модификации микроструктуры сплава.

- 1. A. M. Balagurov et.al., Phys. Rev. Mater. 7, 603 (2023)
- 2. I. S. Golovin et al., J. All. Comp. **675**, 393 (2016).